

ESTIMATION OF AXIALLY-LOADED BORED PILES INTERACTION IN THE DESIGN OF PILE FOUNDATION

D. Sližytė

To cite this article: D. Sližytė (2001) ESTIMATION OF AXIALLY-LOADED BORED PILES INTERACTION IN THE DESIGN OF PILE FOUNDATION, Statyba, 7:3, 201-206, DOI: [10.1080/13921525.2001.10531725](https://doi.org/10.1080/13921525.2001.10531725)

To link to this article: <https://doi.org/10.1080/13921525.2001.10531725>



Published online: 30 Jul 2012.



Submit your article to this journal



Article views: 141



Citing articles: 1 [View citing articles](#)

CENTRIŠKAI APKRAUTŲ GRĘŽINIŲ POLIŲ TARPUSAVIO SĄVEIKOS ĮVERTINIMAS PROJEKTUOJANT POLINIUS PAMATUS

D. Sližytė

Vilniaus Gedimino technikos universitetas

1. Įvadas

Didžiuosiuose miestuose nauji statiniai bei pastatai dažnai statomi tankiai užstatytose teritorijose, kuriuose naujų pamatų įrengimas statybininkams kelia nemažą problemą. Miesto centre tenka atsisakyti iprastiui seklių pamatų, kurie įrengiami pamatų duobėse, net jeigu geras gruntas slūgso negiliai. Miesto centre brangstant žemės sklypams tenka statyti mažą užstatomajį plotą turinčius aukštus pastatus, kurių apkrovos, net naudojant šiuolaikines lengvas konstrukcijas, neišvengiamai didėja. Dėl šių priežasčių šalyje dažnai projektuojami bei įrengiami poliniai pamatai.

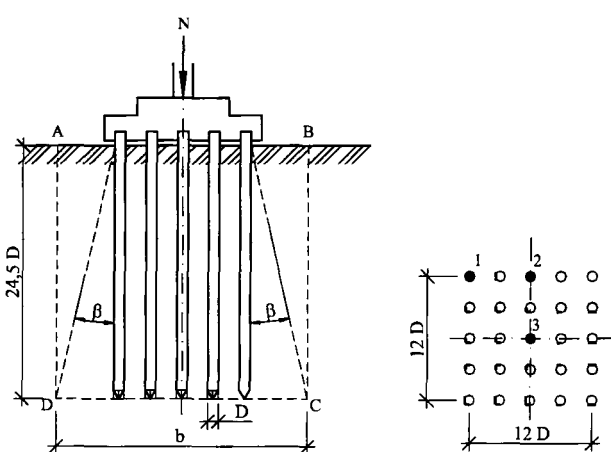
Euronormos 7 [1] polių bandymus statine apkrova rekomenduoja vykdyti pagal ISSMFE parengtą metodiką [2]. Rekomenduojama statine apkrova išbandyti du polius kiekvienoje geotechninėje situacijoje. Jeigu šalyje yra sukauptas patyrimas bandant bei projektuojant polinius pamatus, galima bandyti mažiau polių. Lietuvoje šiuo metu galiojančiuose standartuose [3] numatyta, kad įrengus polinius pamatus būtina išbandyti statine apkrova – mažiausiai 0,5% atsitiktinai parinktų visų polių, bet ne mažiau kaip du. Tai daroma, norint patikrinti projektuojant priimtus sprendimus ir išvengti galimų didelių nuostolių dėl netikslaus geotechninių duomenų interpretavimo. Tačiau polinis pamatas paprastai susideda iš kelių polių, išdėstytyų tam tikrais atstumais, viršuje sujungtų standžiu rostverku. Grupėje esančio polio priklausomai nuo aplink esančio grunto savybių, polio geometrijos, santykinio atstumo tarp polių r/D , polio įrengimo technologijos darbas skirsis nuo atskirai įrengto analogiško polio darbo.

Šio straipsnio tikslas – parodyti, kaip galima projektuoti polinius pamatus, įvertinant polių tarpusavio sąveiką ir atskirojo polio bandymų rezultatus. Be to, gautus rezultatus palyginti su rezultatais, gautais tai-

kant šiuo metu paplitusių sąlyginio pamato skaičiavimo metoda.

2. Polinių pamatų nuosėdžių skaičiavimas

Polinių pamatų skaičiavimą galima suskirstyti į du etapus: pagrindo laikomosios galios bei deformacijų ir polinio pamato, kaip savarankiškos konstrukcijos, skaičiavimas. Geoteknikoje pagrindo laikomoji galia bei deformacijos yra du vienas nuo kito neatsiejami dalykai. Nuo to, kokios yra leistinosios pagrindo deformacijos, priklauso jo skaičiuojamoji laikomoji galia bei pagrindo skaičiuojamasis stipris. Šiuo metu Lietuvoje polinių pamatų nuosėdžiai skaičiuojami laikant, kad gruntas tarp polių bei patys poliai yra absoliučiai standūs, t. y. nesideformuoja, o deformacijos atsiranda sąlyginiam pamatuvi veikiant žemiau polio pado esančių gruntu (1 pav.). Dažniausiai tokiai pamatų nuosėdžiai skaičiuojami sumavimo metodu [4–5].



1 pav. Nagrinėjamo polinio pamato schema: 1, 2, 3 – ypatingi poliai

Fig 1. The scheme of analysed pile foundation. 1, 2, 3 – special piles

Tačiau tai ne vienintelis polinių pamatų nuosėdžių nustatymo būdas. H. G. Poulos, nagrinėdamas dvięjų vienodų polių grupę [6] (2 pav.), pasiūlė grupėse esančių polių tarpusavio sąveiką vertinti sąveikos koeficientu α , kuris parodytų, kokia apkrauto polio nuosėdžio dalis tenka šalia esančiam neapkrautam poliui:

$$\alpha_{i,j} = \frac{s_{i,j}}{s_j}, \quad (1)$$

s_j – centriškai apkrauto j -ojo polio nuosėdis; $s_{i,j}$ – šalia esančio i -ojo polio papildomas nuosėdis dėl j -ojo polio įtakos.

Tuo atveju, kai centriškai apkrautą polinį pamatą sudaro daugiau kaip du poliai, remiantis superpozicijos principu i -ojo polio nuosėdis matematiškai gali būti užrašytas:

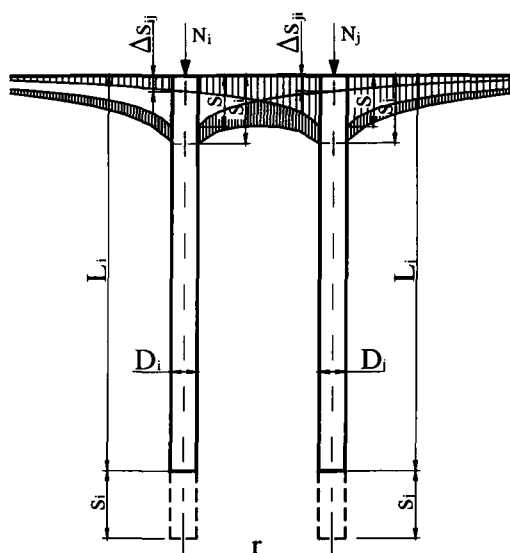
$$s_{i,j} = N \cdot s_i \cdot \sum_{j=1}^n \alpha_{i,j}, \quad (2)$$

N – vidutinė apkrova, tenkanti i -ajam poliui; s_i – i -ojo polio nuosėdis skaičiuojant nuo vienetinės apkrovos, kai $j=i$, $\alpha_{i,i}=1$.

Galimi trys polių sujungimo viršutinėje dalyje atvejai:

1) poliai viršuje sujungti absoliučiai standžiu rostverku;

2) poliai viršuje sujungti absoliučiai liaunu rostverku arba jo visai nėra;



2 pav. Dvięjų polių grupės suminių nuosėdžių profilis

Fig 2. Superposition of settlement profiles for two piles group

3) poliai sujungti riboto standumo rostverku.

Pirmuoju atveju poliai turės sėsti vienodai, tačiau kiekvienas polis priklausomai nuo jo padėties grupėje kitų polių bus veikiamas nevienodai. Todėl, kad nusėstu tiek pat, kitų mažiau veikiami poliai privalės perimti didesnes apkrovos. Antruoju atveju poliai apkrauti vienodomis apkrovomis, o jų nuosėdžių neribojama rostverkas, todėl tie poliai, kuriems šalia esantieji turės mažiau įtakos, sės mažiau už tuos, kurie bus daugiau veikiami. Trečiasis – tarpinis atvejis, kai poliai perims nevienodas apkrovas ir sės nevienodai priklausomai nuo rostverko standumo.

Šiuo metu Lietuvoje galiojančios normos [7] rekomenduoja skaičiuojant polinių pamatų nuosėdžius taikyti sąlyginio pamato metodą. Tačiau statybos aikštéléje atlikus privalomus atskirų polių bandymus, taikant sąveikos koeficientą, taip pat galima prognozuoti, kaip dirbs poliniai pamatai užkrovus projektines apkrovas. O, palyginus gautas prognozes su projektuotomis, dar galima keisti projektą, siekiant sumažinti statybos išlaidas. Kad būtų pąrodytos sąveikos koeficiente metodo galimybės ir norint gautus rezultatus palyginti su rezultatais, gautais pagal sąlyginio pamato metodą, bus smulkiau nagrinėjamas polinis pamatas (1 pav.), sudarytas iš 25 ilgų gręžinių polių, įrengtų tankiame smėlyje.

3. Gręžinių polinių pamatų nuosėdžių prognozavimas sąlyginio pamato metodu

Gręžiniai poliai įrengti Toyouros smėlyje, kurio pagrindinės charakteristikos pateiktos lentelėje.

Toyouros smėlio charakteristikos

Characteristics of Toyoura sand [8]

Charakteristika	Skaitinė reikšmė
Vienetinis svoris γ (kN/m^3)	1,619
Kietujų dalelių vienetinis svoris γ_s (kN/m^3)	26,5
Vidutinis dalelių skersmuo D_{50} (mm)	0,220
Poringumo koeficientas e (-)	0,637
Vidinės trinties kampus ϕ (°)	32
Šoninio slėgio koeficientas $K_0 = 0,52 e$ (-) [9]	0,331
Puasono koeficientas v (-)	0,15

Rostverkas įrengtas truputį aukščiau žemės paviršiaus, kad nebūtų papildomas rostverko-grunto sistemos įtakos. Poliai su rostverku sujungti lankstiškai. Polinis

pamatas apkrautas tik vertikaliaja apkrova. Polio skersmuo D=0,314 m, ilgis L=7,693 m.

Sąlyginio pamato (1 pav.) vertikalių pjūvių apibrėžia stačiakampis ABCD. Jo padas atitinka plokštumą, esančią polio pado gylyje. Sąlyginis pamatas aplink esančiam gruntui apkrovą perduoda ne tik padu, bet ir šoniniu paviršiumi, kurio kontūras nustatomas apibrėžiant išorinius polius. O dėl trinties prie šio šoninio paviršiaus atsirandantys normaliniai įtempimai sklinda tam tikru kampu β , kuris pagal projektavimo normyną [7]:

$$\beta = \frac{\phi}{4}, \quad (3)$$

ϕ – grunto vidinės trinties kampus.

Dėl šoninės trinties padidėja sąlyginio pamato pado plotis. Tamprumo modulis didėja didėjant gyliui, jis nustatomas remiantis tamprumo teorija:

$$E_0 = 2G_0(1+v), \quad (4)$$

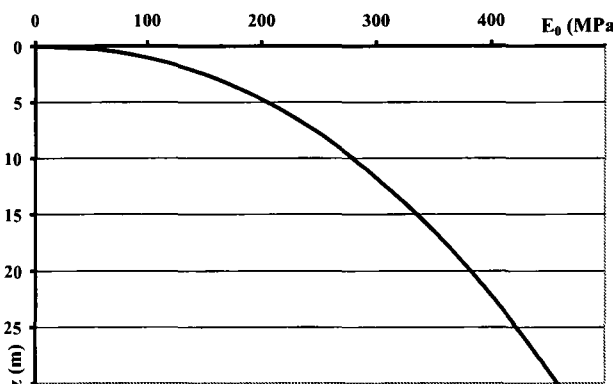
G_0 – mažų deformacijų šlyties modulis (kg/cm^2), kuris šiam smėliui pagal Lo Presti [9] lygus:

$$G_0 = 724\sigma_m'^{0,45} \frac{1}{e^{1,3}}, \quad (5)$$

σ'_m – vidutiniai įtempimai nagrinėjamame gylyje, priklausantys nuo veikiančių vertikaliųjų σ'_{v0} bei horizontaliųjų σ'_{h0} įtempimų:

$$\sigma'_m = \frac{\sigma'_{v0} + 2\sigma'_{h0}}{3}. \quad (6)$$

Tamprumo modilio priklausomybė nuo gylio z pateikta 3 pav.



3 pav. Tankaus Toyouros smėlio mažų deformacijų tamprumo modilio priklausomybė nuo gylio

Fig. 3. Small strain deformation modulus of dense Toyoura sand relationship for depth

Pagal nustatyta grunto tamprumo modulį, grunto tankį, polių geometrinius matmenis bei jų išdėstyti pamaite sąlyginio pamato metodu apskaičiuoti polinio pamato nuosėdžiai.

4. Gręžinių polinių pamatų nuosėdžių prognozavimas pagal atskirojo polio statinį bandymą bei įvertinus polių tarpusavio sąveiką

Polii grupėms skaičiuoti taikant sąveikos koeficientą yra sukurta ne viena programa. Viena iš jų yra MAP [10], sukurta SGI (Milanas, Italija). Taikant šią programą polii grupės nuosėdis skaičiuojamas pagal atskirojo polio Q -s priklausomybę, įvertinant nuosėdžio padidėjimą, atsirandantį dėl greta esančių polių įtakos. Taigi i -ojo polio nuosėdi, įvertinant aplink esančių polių įtaką, galima užrašyti:

$$ds'_i = ds_i + \sum_{\substack{j=1 \\ i \neq j}}^n (\alpha_{ij} \cdot ds_j), \quad (7)$$

ds_j – tamprus atskirojo j -ojo polio nuosėdis randamas:

$$ds_j = \frac{N_j}{AK_{oj}}. \quad (8)$$

Taikant polio atsako standumo veiksnį $f_{zi}=1/AK_o$ ir j -ojo polio nuosėdžio ir apkrovos priklausomybę $d_{sj}=f_{zj}N_j$ (7) lygtis tampa:

$$ds'_i = \left\{ f_{zi} + \sum_{\substack{j=1 \\ i \neq j}}^n (\alpha_{ij} \cdot f_{zj}) \frac{N_j}{N_i} \right\} N_i, \quad (9)$$

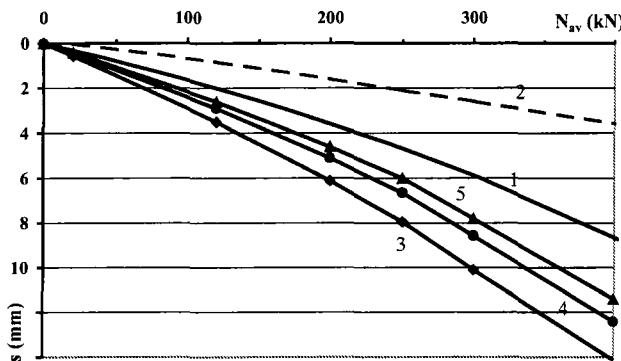
tai yra:

$$ds'_i = f'_{zi} N_i, \quad (10)$$

čia f'_{zi} – i -ojo polio atsako standumo veiksnys įvertinant kitų polių įtaką; f_{zi} – i -ojo polio, kaip atskirojo polio, atsako standumo veiksnys; N_j – įraža, veikianti j -ajį polį; N_i – įraža, veikianti i -ajį polį.

Iš šių lygčių matyti, kad polių grupėje esantiems poliams standumo veiksnys didėja dėl šalia esančių polių, o tai lemia didesnį nuosėdį.

Programa MAP naudojama polių grupių, sujungtų standžiu roštverku, statinei analizei atlkti. Buvo pasinaudota viena iš jos dalii, kuri skirta centriškai apkrautiems, vertikaliems poliam. Skaičiavimams imta atskirojo polio Q -s idealizuota priklausomybė remiantis ISMES

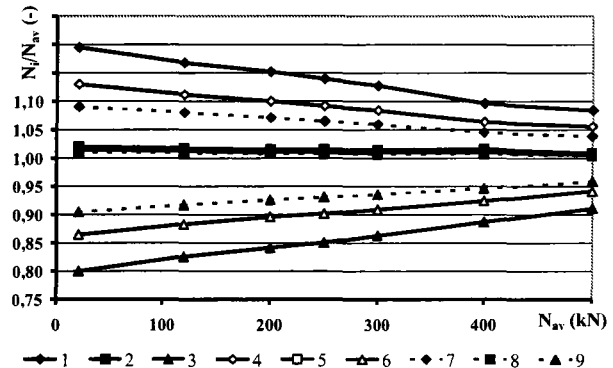


4 pav. Polinio pamato nuosėdžių diagrama priklausomai nuo vienam poliu tenkančios vidutinės apkrovos bei santykinio atstumo tarp polių r/D : 1 – atskirojo polio; 2 – 5×5 polinio pamato, skaičiuojant salyginio pamato metodu; 3, 4 ir 5 – taikant polių sąveikos koeficientą bei tarp polių ašių esant atitinkamai 3 D, 4,5 D ir 6 D atstumams

Fig 4. Pile foundation settlement relationship for average load of one pile and normalised pile spacing r/D : 1 – single pile, 2 – 5×5 pile foundation, calculated like equivalent raft foundation, 3, 4 and 5 – using interaction coefficient and between pile axes being distance 3 D, 4,5 D and 6 D

(Bergamo, Italija) Geoteknikos laboratorijos polių grupei PG5T_30 tyrimų rezultatų duomenimis. Sąveikos koeficientas nustatytas remiantis eksperimentiniais poliu grupių tyrimų rezultatais [11]. Ten pat yra pateiktas šiuo metu turimų teorinių sąveikos koeficientų reikšmių palyginimas su eksperimentinėmis, iš kurių matyti, kad šiuo metu dar nėra palyginti tikslaus šio koeficiente skaičiavimo metodo.

Kaip matyti iš 4 pav., nagrinėjamas 5×5 polinis pamatas (kai $r/D=3$) sėda vidutiniškai 80,8% daugiau nei tokiam pačiam grunte įrengtas atskirasis polis, kuris yra centriškai apkrautas vienam polinio pamato poliu tenkančia vidutine apkrova N_{av} . Tiesa, didinant atstumus tarp polių šis skirtumas mažėja atitinkamai 48,2% ir 32,0%, kai atstumai tarp polių ašių yra 4,5 D ir 6 D, tačiau tokie atstumai tarp polių, sujungtų standžiu rostverku, retai pasitaiko. Nuosėdžius palyginus su salyginio pamato metodu gautais nuosėdžiais galima sakyti, kad šiuo konkrečiu atveju salyginio pamato metodu gauti nuosėdžiai yra net mažesni nei atskirojo polio nuosėdžiai, jî apkrovus vidutine vienam poliu tenkančia apkrova (4 pav.). Tuo tarpu literatūroje [12], [4] yra pabrėžiama, kad polinio pamato poliai, esant tokiai pačiai apkrovai, sėda daugiau, kâ ir rodo polių tarpusavio sąveiką vertinantį metodą.



5 pav. Iražų pasiskirstymas ypatinguose poliuose 5×5 poliniame pamate priklausomai nuo vidutinės apkrovos bei santykinio atstumo r/D tarp polių: 1, 2, 3 – atitinkamai kampinio, kraštinių ir centrinių polių, kai tarp polių ašių 3 D; 4, 5, 6 – kampinio, kraštinių ir centrinių polių, kai tarp polių ašių 4,5 D; 7, 8 ir 9 – kampinio, kraštinių ir centrinių polių, kai tarp polių ašių 6 D

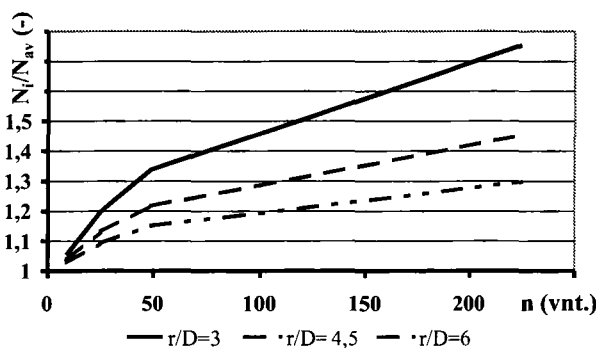
Fig 5. Loads distribution in special piles of 5×5 pile foundation relationship for average load of one pile and normalised pile spacing r/D . 1, 2, 3 – corner, border and central pile then between pile axes being distance 3 D; 4, 5, 6 – corner, border and central pile, then between pile axes being distance 4,5 D; 7, 8, 9 – corner, border and central pile, then between pile axes being distance 6 D

Be polinio pamato nuosėdžių, reikia atkreipti dėmesį ir į iražų pasiskirstymą poliuose (5 pav.). Esant iprastiniams polių išdėstymui ($r/D=3$), pradiniu apkrovimo etapu kraštiniame polyje veikianti iraža yra tik 2% didesnė nei vidutinė apkrova, tačiau tuo pat metu kampiniame polyje ji yra net 19,5% didesnė, o centriniame 20,0% mažesnė.

Tiesa, didėjant atstumui tarp polių, iražos juose pasiskirsto tolygiau: centriniuose poliuose jos mažesnės tik 13,5% bei 9,5%, o kampiniuose 13,0% bei 9,0% didesnės tarp polių esant atitinkamai 4,5 D ir 6,0 D atstumui. Kadangi sistema dirba ne tik tamprijoje stadioje, bet didėjant apkrovai didėja plastinės deformacijos, vyksta iražų persiskirstymas. (5 pav.) parodyta, kaip, didėjant vidutinei vienam poliu tenkančiai apkrovai, vienodėja iražų pasiskirstymas.

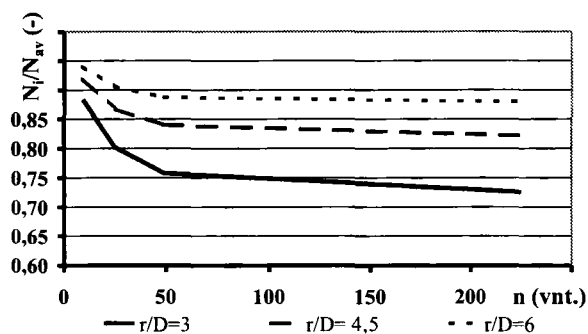
Tačiau veikiančios iražos dydį lemia ne tik atstumas tarp polių ir polio padėties grupėje. Didėjant polių skaičiui kiekvienas polis yra veikiamas didesnio šalia esančių polių skaičiaus. Tai lemia ryškesnį iražų persiskirstymą (6 ir 7 pav.).

8 pav. parodyta, kaip poliniame pamate, kuriame



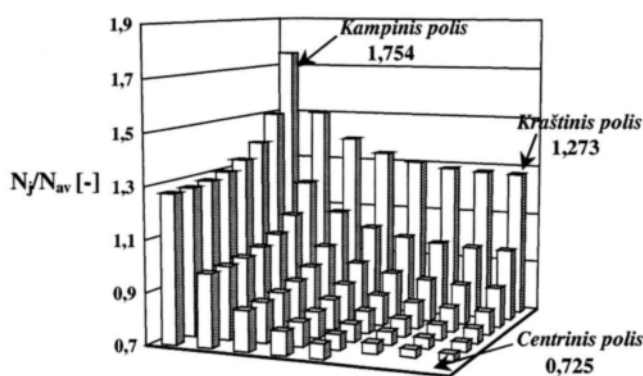
6 pav. Įrąžų kampiniame polyje santykio su vidutine apkrova priklausomybė nuo polių skaičiaus grupėje ir santykinio atstumo r/D tarp polių

Fig. 6. The ratio of load on corner pile to the average pile load in the group (N/N_{av}) relationship for pile number in pile foundation and normalised pile spacing r/D



7 pav. Įrąžų centriniame polyje santykio su vidutine apkrova priklausomybė nuo polių skaičiaus grupėje ir santykinio atstumo r/D tarp polių

Fig. 7. The ratio of load on central pile to the average pile load in the group (N/N_{av}) relationship for pile number in pile foundation and normalised pile spacing r/D



8 pav. Įrąžų pasiskirstymas 15×15 polių grupėje

Fig. 8. Load distribution in 15×15 pile group

Yra 225 poliai (15×15 polių grupė), tam prie joje darbo stadijoje poliuose pasiskirsto įrąžos. Kampinio polio įrąžos padidėja jau iki 75,4%. Tuo tarpu vidurinėje šios grupės dalyje (7×7) įrąžos poliuose yra nuo 21,4% iki 27,7% mažesnės nei vidutiniškai tenkanti apkrova.

5. Išvados

1. Dėl įrąžų persiskirstymo poliniame pamate poliai, esantys polinio pamato pakraštyje, perima didesnes įrąžas, palyginti su vidutine, nors tuo pat metu vidurinieji būna nepakankamai apkrauti.

2. Remiantis įrąžų persiskirstymu poliuose juos galima projektuoti racionaliau ir efektyviau panaudoti stabtines medžiagias.

3. Polinių pamatų projektavimo metodas taikant polių sąveikos koeficientą Lietuvoje yra naujas ir kol kas plačiau nenagrinėtas. Todėl būtų tikslinga patyrinėti, kaip jis atitinka skaičiavimų pagal sąlyginio pamato metodą ir sąveikos koeficiente metodą bandymų rezultatus. Straipsnyje buvo nagrinėtas atvejis, kai sąveikos koeficientas buvo paimtas iš eksperimentinių duomenų. Tačiau, norint sėkmingai taikyti polinių pamatų skaičiavimo metodą, ivertinant polių tarpusavio sąveiką, reikia toliau nagrinėti sąveikos koeficiente priklausomybes nuo įvairių išorinių veiksnių ir ivertinti jų įtaką.

Literatūra

1. Eurocode 7. Geotechnical design in European engineering practice. Budapest, 1996. 150 p.
2. Axial Pile Loading Test – Part 1: Static Loading. IS-SMFE Subcommittee on Field and Laboratory Testing // Geotechnical Testing Journal, GTJODJ, Vol 8, No 2, June 1985, p. 79–90.
3. ГОСТ 5686-78. Сваи. Методы полевых испытаний. Москва: Издательство стандартов, 1982. 27 с.
4. Б. И. Далматов. Механика грунтов, основания и фундаменты. Москва: Стройиздат, 1981. 319 с.
5. W. G. K. Fleming, A. J. Weltman, M. F. Randolph, W. K. Elson. Piling Engineering. Glasgow: Blackie A & P, 1992. 390 p.
6. H. G. Poulos. Analysis of settlement of pile groups // Geotechnique, Vol 18, p. 449–471.
7. СНиП 2.02.03-85. Свайные фундаменты / Госстрой СССР. М.: ЦИТП Госстроя СССР, 1986. 48 с.
8. V. Fioravante, V. N. Ghionna, M. Kamiolkowski, H. Sarti. On the shaft friction modelling of non-displacement piles in sand Studio teoretico. Studio Geotecnico Italiano. Milano, 1998. 48 p.

9. Lo Presti D. C. F., Pallara O., Lancellotta R., Armandi M., Maniscalco R. Monotonic and Cyclic Loading Behaviour of two Sands at Small Strains // Geotechnical Testing Journal, Vol XVI, No 4, p. 409–424.
10. G. Guiducci. Matrix Analysis of Piles (MAP). Manuale teorico applicativo. Studio Geotecnico Italiano. Milano, 1997. 120 p.
11. H. Sarri, D. Sližytė. Analysis of interaction coefficients for axially loaded piles. iYGEC 2000. University of Southampton 2000, p. 153–154.
12. J. Šimkus. Gruntų mechanika, pagrindai ir pamatai. Vilnius: Mokslas, 1984. 271 p.

Iteikta 2001 04 09

ESTIMATION OF AXIALLY-LOADED BORED PILES INTERACTION IN THE DESIGN OF PILE FOUNDATION

D. Sližytė

Summary

In Lithuania and many foreign countries traditional approach of replacing the pile group by equivalent raft foundation in order to estimate settlements is used. But now we have another method. H. Poulos [3] described the influence between piles in a pile foundation with the coefficient of interaction, that indicate the pile influence on the neighbour-

ring piles settlement increasing neighbouring pile acted by axial load. General characteristics of Toyoura sand was shown in the table. With this data and two methods of calculation settlement of 5x5 pile foundation was founded (Fig 1) and results are shown in Fig 3. Also Fig 5 shows the effects of non-linearity on the axial load distribution between a piles of 5x5 group embedded in non-cohesive soil. The load distribution is expressed in terms of the ratio of load on pile to the average pile load in the group (N/N_{av}), and is plotted against the average pile load. The same figure shows how differ results when the normalised pile spacing 3D, 4,5D and 6D. In the case when the normalised pile spacing $r/D=3$ and pile foundation work in elastic phase the corner piles take 19,5% larger load as the average pile load and central pile take 20,0% smaller load as the average pile load. But after increasing of the average load this difference decreases. This difference also decreases when the normalised pile spacing increases.

Danutė SLIŽYTĖ. PhD student. Dept of Geotechnics. Vilnius Gediminas Technical University (VGTU), Saulėtekio al. 11, LT-2040 Vilnius, Lithuania. E-mail: danute@st.vtu.lt

Graduate of Vilnius Technical University (presently VGTU) (1994, civil engineer), MSc (1996, civil engineer). Studied at Technical University of Turin (Italy, 1999/2000). Author and co-author of 3 research papers. Research interests: axially-loaded pile and pile groups, retaining walls and slopes.